

669.162.281 ; 669.162.262

S 345

(13) 高炉内のかス速度と荷重分布について

70013

名古屋大学 工学部 ○ 采原一守
講師 教

工 結 言：高炉の荷重分布に関する知見は糊吊り等の操業限界を評定したり、炉床における粒子の運動を考察したりする上で必要と思われる。荷重分布を考える際にはガス力学についての把握が重要となる。従来の高炉内ガス流動に関する研究の中では、算温充填層として圧力損失を求めた例が多いが、強川非算温系である高炉に対しては理論的には妥当でない。非算温的取扱いとしては M. Hansen の法がある。これは炉内の層高方向に逐次レイノルズ数 (Re) を計算し、その Re を用いて圧力損失を計算してゆく法であるが、圧力損失式に組み入れてゆくには不便である。本報では炉内ガス速度を簡単に推算しうる式を算出し、その式に従う荷重分布を考える。

II 解析と結果：(1) 炉内ガス速度 (基礎式導出上の仮定): 1) 高炉を均一径の固定層と考える。2) 流体の流れは半径方向に均一であるとする。3) 糊融帶より上では、微小区間ににおける圧損が Ergun の式で表される。4) 装入物はあるレベルで溶解距離あるとし、溶解帶下での圧損式には鳥井らの実験式¹⁾で Ergun 式を補正したものを使う。5) 自溶性煉結鉱の配合率が高いうな場合を考慮層高方向にガスの質量速度は変化しないとする。6) 炉内ガスは理想気体の式に従うとする。

(基礎式): $(V - RT/Mv)dV/dr + \beta V^2 + (R/M)dT/dr + g = 0 \dots (1)$, (境界条件): $r = r_c; V = V_c \dots (2)$
但し β は溶解帶上では $\beta_1 = (1-\epsilon)/D_{p,E} \cdot (150(1-\epsilon)/Re_p + 1.75) \dots (3)$ 溶解帶下では $\beta_2 = (1-\epsilon)/D_{p,E} \cdot (150(1-\epsilon)/Re_p + 1.75) \cdot \{ 1 + 0.00397 Re_p^{0.478} (\mu_L/\mu_G)^{0.271} \}$, $Re_p = 8 D_{p,E} w_m / \{ 3\pi(1-\epsilon) D^2 \mu_L \} \dots (4)$

(基礎式解法上の仮定): 1) 炉内温度分布は、 $T = a - br \dots (5)$ なる直線的分布の合成であるとする。2) 炉内温度分布の形状は大きくは上下熱交換のものと、熱保存帯のものに分かれるが、前二者は傾斜をもち、後者は傾斜をもたない直線的温度分布により十分な近似ができるよう。3) μ は、1) の三つの温度帯の中で一定値をとる。実際、 Re の絶対値が大きいために μ の温度依存は少く、また溶解補正項の温度依存も少い。

(基礎式の解): 1) $T = a$ (熱保存帯): $r = r_c + A \ln(V/V_c) - B \ln\{(\beta V^2 + g)/(1 - \beta V_c^2 + g)\} \dots (5)$ 但し $A = Ra/Mg$, $B = \frac{1}{2}(Ra/Mg + 1/\beta)$.

2) $T = a - br$ (上下熱交換帯): 高炉では $|bR/M| \gg g$ である事を考慮して

$$r = r_c + \frac{a}{b} \left(1 - \frac{V_c}{V} \frac{1 - \beta V_c^2}{1 - \beta V^2} \right) + \frac{1}{b} \frac{ar}{\sqrt{1 - \beta V^2}} \left[\sin^{-1}\left(\frac{\beta}{\sqrt{1 - \beta^2}} V\right) - \sin^{-1}\left(\frac{\beta}{\sqrt{1 - \beta^2}} V_c\right) \right] \dots (6)$$

但し $b = bR/M$. (6)式はオーフィーだけ精度良く近似できる。

(解析解の妥当性): 100% 自溶性煉結鉱使用時の温度分布 $T = a - br^2$ と圧力分布 $V = V_c$ とから計算したガス速度と計算値を図1に比較して示す。計算値は実測値の傾向をよく説明しているものと思われる。

(2) 荷重分布. Jansen 式に従う荷重収支に dr 区間に働くガスの抗力を $V dV dr$ を考慮して荷重分布を計算した。但し $\beta = 0.25 \pi D^2 (1-\epsilon) G (150(1-\epsilon)/Re_p + 1.75) / \mu L$

III 記号: D : 炉平均径, D_p : 平均粒子径, G : ガスの質量速度, g : 重力加速度, g_c : 重力換算係数, r : 羽口レベルからの距離, M : ガスの分子量, Re : レイノルズ数, R : 气体定数, T : 温度, V : ガス速度, w_m : 溶解生成物の質量速度, ϵ : 空隙率, μ : 粘性係数, suffix: L: 羽口レベル, G: ガス, L: 溶解物.

IV 文献: 1) 鳥井ら: 化学工学, 18(1945)421, 2) B.L. Lazarev et al.: Stal in English NOG (1965)429, 3) V.V. Frolov et al.: Stal in English, NO4 (1961)242.

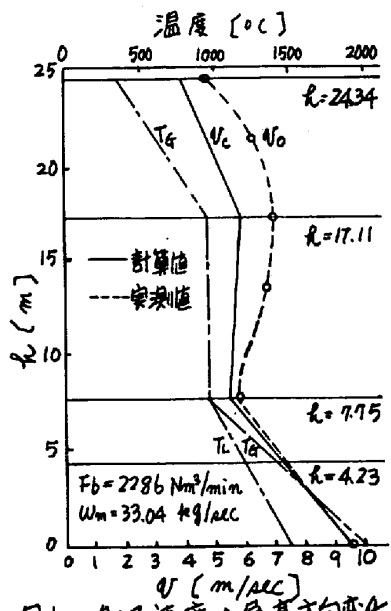


図1. ガス速度の層高方向変化